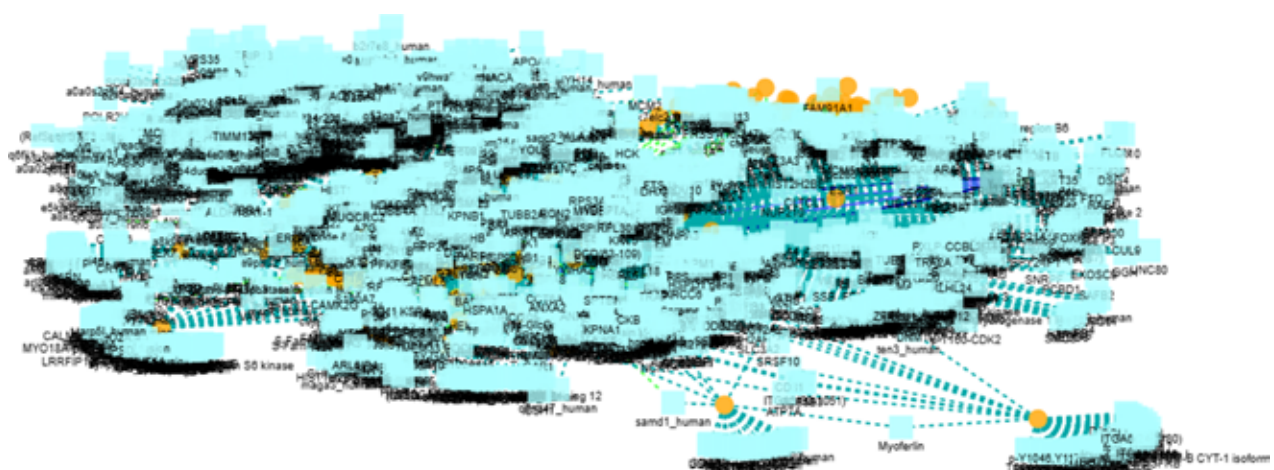


Supplementary File 1

Desmoglein 1, Desmoplakin, Envoplakin, Periplakin. Antigens in a new variant of endemic pemphigus foliaceus putative binding proteins.

DESMOGLEIN-1, Q02413, (Dsg1) PI of ABCF1; ACLY; ACTA2; (1375); AGL. The network below contains 144 interaction nodes and 3163 physical entity nodes.



Physical entities	
Type	Quantity
protein	3162
complex	1
Interactions	
Type	Quantity
protein interaction	143
biochemical reaction	1
Interaction sources:	
Interaction name. PI (PI)	
PI of DSG1; JUP	✓ ✅ ✗ ✓ ✗ ✗ ✗
PI of DSG1; PKP1	✓ ✅ ✗ ✓ ✗ ✗ ✗
PI of DSG1; SSSCA1	✓ ✅ ✅ ✗ ✗ ✗ ✗
PI of DSG1; PKP3	✓ ✗ ✗ ✗ ✓ ✗ ✗
[1] DSG1 - [1] DSG1	✗ ✗ ✅ ✗ ✗ ✅ ✗
PI of DSG1; PKP2	✓ ✗ ✗ ✗ ✓ ✗ ✗
PI of DSC2; DSG1	✓ ✗ ✗ ✗ ✓ ✗ ✗
PI of DSC1; DSG1	✓ ✅ ✅ ✗ ✗ ✗ ✗
PI of DSG1; VRK3	✗ ✅ ✅ ✗ ✗ ✗ ✗
PI of DSG1; HIST2H2BE	✓ ✅ ✗ ✗ ✗ ✗ ✗
PI of DSG1; HIST1H2BH	✓ ✅ ✅ ✗ ✗ ✗ ✗
PI of DSG1; RUVBL1	✗ ✅ ✅ ✗ ✗ ✗ ✗
PI of DSG1; p-S, T-MAP2K2	✓ ✗ ✗ ✗ ✗ ✗ ✗
PI of DSG1; USP1	✓ ✗ ✗ ✗ ✗ ✗ ✗
PI of CSTA; DCD (63-109); DSG1; DSP; FABP5.	✗ ✅ ✗ ✗ ✗ ✗ ✗
PI of DSG1; SYDE1	✓ ✗ ✗ ✗ ✗ ✗ ✗
PI of 3.6.1; AAK1; AAMP; ACAT1(35-427); ACTA2.	✗ ✅ ✗ ✗ ✗ ✗ ✗
PI of CAMK2A; DSG1	✓ ✗ ✗ ✗ ✗ ✗ ✗
PI of ANXA1; BAG2; BRAF; CCT2; CCT3	✗ ✅ ✗ ✗ ✗ ✗ ✗
PI of DSG1; HIRA	✓ ✗ ✗ ✗ ✗ ✗ ✗

PI of DSG1; PRPF8	✓	✗	✗	✗	✗	✗	✗
PI of DSG1; RNF4	✓	✗	✗	✗	✗	✗	✗
PI of DSG1; GRB2-1; GSN;HSBP1 gene; HSPA5.	✗	✓	✗	✗	✗	✗	✗
PI of CCAR1; CDC37; CHERP CSNK2A1; DDX23.	✗	✓	✗	✗	✗	✗	✗
PI of DSG1; SYDE2	✓	✗	✗	✗	✗	✗	✗
PI of ACTB (1-375); ACTC1 ACTR3; AHNAK; AL09.	✗	✓	✗	✗	✗	✗	✗
PI of DSG1; OTUD4	✓	✗	✗	✗	✗	✗	✗
PI of 3.4.21; ALYREF; ARF1, ATAD3A; ATP5C1.	✗	✓	✗	✗	✗	✗	✗
PI of DSG1; UCHL1	✓	✗	✗	✗	✗	✗	✗
PI of ATP5B (1-529); BLK gene CDC37; DSG1; GAR1.	✗	✓	✗	✗	✗	✗	✗
PI of ATP7A; BIRC6; CHD1L;CIRBP; DNM2; .	✗	✓	✗	✗	✗	✗	✗
PI of DOCK8; DSG1	✓	✗	✗	✗	✗	✗	✗
PI of DSG1; PTEN gene	✓	✗	✗	✗	✗	✗	✗
PI of DSG1; METTL14	✓	✗	✗	✗	✗	✗	✗
PI of CEP76; DSG1	✓	✗	✗	✗	✗	✗	✗
PI of DSG1; HULC	✓	✗	✗	✗	✗	✗	✗
PI of ALOX12B; ARG1; CDSN; DSG1; DSP.	✗	✓	✗	✗	✗	✗	✗
PI of ACTA2; APBB2; APLP2; ATP2B2; CDSN.	✗	✓	✗	✗	✗	✗	✗
PI of ABLIM1; ACTB (1-375),ACTG1; ACTN1; ACTN4.	✗	✓	✗	✗	✗	✗	✗
PI of 2.3.1.-; 3.-; 3.4.11.-; 3.6.1.; 3.6.1.-	✗	✓	✗	✗	✗	✗	✗
PI of ANXA7; BANF1; BAT2L; CALML5; CASP14(6-146).	✗	✓	✗	✗	✗	✗	✗
PI of BAG2; CSTA; CTSD gene; DSG1; EEF1A1.	✗	✓	✗	✗	✗	✗	✗
PI of DSG1; PPP2R2A	✓	✗	✗	✗	✗	✗	✗
PI of ANXA2; BAG2; CCT2; CCT3; CCT4.	✗	✓	✗	✗	✗	✗	✗
PI of CDC73; DSG1	✓	✗	✗	✗	✗	✗	✗
PI of DSG1; TRK1	✓	✗	✗	✗	✗	✗	✗
PI of DSG1; GAB1	✓	✗	✗	✗	✗	✗	✗
PI of COQ2; DSG1	✓	✗	✗	✗	✗	✗	✗

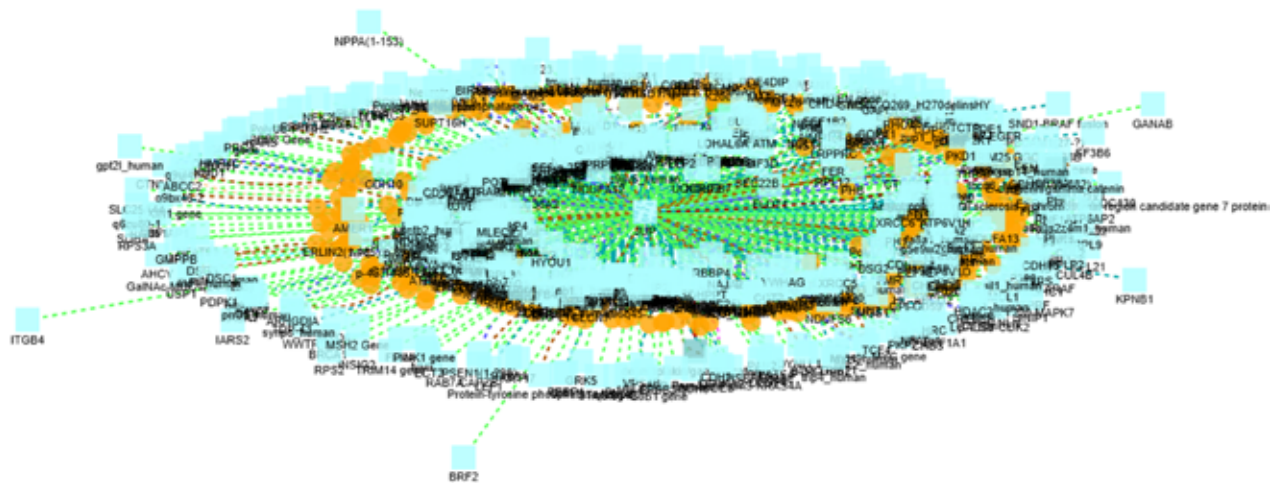
PI of DSG1; MYC gene	✓	✗	✗	✗	✗	✗	✗
PI of DSG1; DSP; GAB1; GRB2-1; HSPA1A.	✗	✓	✗	✗	✗	✗	✗
PI of ATXN3; DSG1	✓	✗	✗	✗	✗	✗	✗
PI of APBB1; CDK9; DSG1; HMGA2; MMTAG2.	✗	✓	✗	✗	✗	✗	✗
PI of DSG1; p-5Y-GAB2	✓	✗	✗	✗	✗	✗	✗
PI of DSG1; p-T308, S473 AKT1	✓	✗	✗	✗	✗	✗	✗
PI of DSG1; KIF23	✓	✗	✗	✗	✗	✗	✗
PI of DSG1; IQGAP1	✓	✗	✗	✗	✗	✗	✗
PI of DSG1; p-T160-CDK2	✓	✗	✗	✗	✗	✗	✗
PI of CCT2; CCT3; CCT4; CCT5; CCT6A.	✗	✓	✗	✗	✗	✗	✗
PI of BAG2; BRAF; CALML5; CCT2; CCT3.	✗	✓	✗	✗	✗	✗	✗
PI of ANXA1; ANXA2; ARGLU1; ATP1A1; ATP1B3.	✗	✓	✗	✗	✗	✗	✗
PI of DSG1; VAV1	✓	✗	✗	✗	✗	✗	✗
PI of DSG1; TUBG1	✓	✗	✗	✗	✗	✗	✗
PI of AIF; ALDOA; ALYREF; ANXA2; ARF1.	✗	✓	✗	✗	✗	✗	✗
PI of DSG1; p-T309-RAD51	✗	✗	✗	✗	✗	✗	✓
PI of DSG1; FANCD2 Gene	✓	✗	✗	✗	✗	✗	✗
PI of DSG1; PINK1 gene	✓	✗	✗	✗	✗	✗	✗
PI of CALML5; Calmodulin like 3; DSC1; DSG1; FLG (1-4061)	✗	✓	✗	✗	✗	✗	✗
PI of DSG1; zup1_human	✓	✗	✗	✗	✗	✗	✗
PI of BLK gene; DSG1; HSP90AA1; HSPA5; HSPA9(1-679).	✗	✓	✗	✗	✗	✗	✗
PI of CDC42; DSG1	✓	✗	✗	✗	✗	✗	✗
PI of ACTA2; ACTB (1-375); AHCY; AHSA1; AIF	✗	✓	✗	✗	✗	✗	✗
PI of ARL6IP4; CALML5; CAV1 gene; DSG1; DSP.	✗	✓	✗	✗	✗	✗	✗
PI of BIRC3; DSG1	✓	✗	✗	✗	✗	✗	✗
PI of ALDH18A1-1; AOMS3; ARHGEF11; ARHGEF40; AZGP1	✗	✓	✗	✗	✗	✗	✗
PI of BRK1; DSG1	✗	✗	✓	✗	✗	✗	✗
PI of DSG1; IQCB1	✓	✗	✗	✗	✗	✗	✗
PI of DSG1; TRIM25	✓	✗	✗	✗	✗	✗	✗

PI of ABCB1; ADAM10; ADAM17; ATP1A1; ATP1B1.	✗	✓	✗	✗	✗	✗	✗
PI of ARG1; AZGP1; BH; CASP14(6-146); CAT gene	✗	✓	✗	✗	✗	✗	✗
PI of DSG1; p-S214, S576 ARAF	✓	✗	✗	✗	✗	✗	✗
PI of DSG1; LARP7	✓	✗	✗	✗	✗	✗	✗
PI of DSG1; RALBP1	✓	✗	✗	✗	✗	✗	✗
PI of CHD3; DSG1	✓	✗	✗	✗	✗	✗	✗
PI of DSG1; GH1	✗	✓	✗	✗	✗	✗	✗
PI of DSG1; LYN	✓	✗	✗	✗	✗	✗	✗
PI of DSG1; KLK5	✗	✗	✗	✓	✗	✗	✗
PI of DSG1; mitok_human	✓	✗	✗	✗	✗	✗	✗
PI of DSG1; zch18_human	✓	✗	✗	✗	✗	✗	✗
PI of DSG1; samd1_human	✓	✗	✗	✗	✗	✗	✗
PI of DSG1; cf298_human	✓	✗	✗	✗	✗	✗	✗
PI of DSG1; PI4KA	✓	✗	✗	✗	✗	✗	✗
PI of CDIPT; CLCN7; DSG1; ECT2; IWS1	✗	✓	✗	✗	✗	✗	✗
PI of DSG1; q5t9g42	✓	✗	✗	✗	✗	✗	✗
PI of DSG1; SOAT1	✓	✗	✗	✗	✗	✗	✗
PI of BAG2; CCT6A; CDC37; DNAJA1; DNAJA2.	✗	✓	✗	✗	✗	✗	✗
PI of COPSS5; DSG1	✓	✗	✗	✗	✗	✗	✗
PI of CHD4; DSG1	✓	✗	✗	✗	✗	✗	✗
PI of ARG1; CALML5; CDSN, DSG1; ECM1.	✗	✓	✗	✗	✗	✗	✗
PI of DSG1; NME1	✓	✗	✗	✗	✗	✗	✗
PI of ADH7; CDSN; CRYAB; Calmodulin like 3; DSC2	✗	✓	✗	✗	✗	✗	✗
PI of CCDC8; DSG1	✓	✗	✗	✗	✗	✗	✗
PI of DSG1; PLEKHG4B	✓	✗	✗	✗	✗	✗	✗
PI of DSG1; MCM2	✓	✗	✗	✗	✗	✗	✗
PI of DSG1; NCK1	✓	✗	✗	✗	✗	✗	✗
PI of DSC1; DSG1; GAPDH; JUP; PFDN1.	✗	✓	✗	✗	✗	✗	✗
PI of DSG1; DSP	✗	✓	✗	✗	✗	✗	✗
PI of DSG1; q9nz47_human	✗	✓	✗	✗	✗	✗	✗
PI of DSG1; KRT17	✓	✗	✗	✗	✗	✗	✗

PI of ARHGEF40; DSG1	✓	✗	✗	✗	✗	✗	✗
PI of A3; ACAT1(35-427); ACTB (1-375); ACTC1; AFMID.	✗	✓	✗	✗	✗	✗	✗
PI of AcK-HIST3H2A; BANF1; BIRC6; CLTC; DLG1.	✗	✓	✗	✗	✗	✗	✗
PI of 3.4.11.-; BAG5; DNAJB1 gene; DSG1; FLNC.	✗	✓	✗	✗	✗	✗	✗
PI of DSG1; METTL3	✓	✗	✗	✗	✗	✗	✗
PI of DSG1; p-T218, Y220-MAPK7	✓	✗	✗	✗	✗	✗	✗
PI of DSG1; KHDRBS2	✓	✗	✗	✗	✗	✗	✗
PI of DSG1; ESR1	✓	✗	✗	✗	✗	✗	✗
PI of 13K18; 3.6.1; ACADM; ACOX1; ACTA2.	✗	✓	✗	✗	✗	✗	✗
PI of ACTB (1-375); CASP14 (6-146); CFTR; DSG1; KRT10.	✗	✓	✗	✗	✗	✗	✗
PI of DSG1; RAF1	✓	✗	✗	✗	✗	✗	✗
PI of 3.6.1.-; ACACA; BAG2; CAD; CAPZB.	✗	✓	✗	✗	✗	✗	✗
PI of DSG1; PEBP1	✓	✗	✗	✗	✗	✗	✗
PI of DSG1; MCM5	✓	✗	✗	✗	✗	✗	✗
PI of ACTB (1-375); APOD gene; ARG1; BUD13; CLTCL1.	✗	✓	✗	✗	✗	✗	✗
PI of ABCF1; ARHGEF7; DSG1; DSP; GIT1.	✗	✓	✗	✗	✗	✗	✗
PI of ACBD3; ACPP; AKR1B10; ALOX12B; ARF6.	✗	✓	✗	✗	✗	✗	✗
PI of AcK-HIST3H2A; BAG2; CAMK2A; CDC37; DSG1.	✗	✓	✗	✗	✗	✗	✗
PI of DSG1; EFTUD2	✓	✗	✗	✗	✗	✗	✗
PI of ABCF1; ACLY; ACTA2; ACTB (1-375); AGL;	✗	✓	✗	✗	✗	✗	✗
PI of DSG1; UBXN1	✓	✗	✗	✗	✗	✗	✗
PI of DSG1; PLK1	✓	✗	✗	✗	✗	✗	✗
PI of CUL2; DSG1	✓	✗	✗	✗	✗	✗	✗
PI of DSG1; HNRNPA1	✓	✗	✗	✗	✗	✗	✗
PI of DSG1; ubp53_human	✓	✗	✗	✗	✗	✗	✗
PI of DSG1; TBC1D22B	✓	✗	✗	✗	✗	✗	✗
PI of 3.6.1.-; 3.6.1.-; ABCA10; ABCF1; ACSBG2.	✗	✓	✗	✗	✗	✗	✗
PI of BLK gene; DSG1	✓	✗	✗	✗	✗	✗	✗

PI of ABCD3; ABCF2; ALDH1A3; BAG2; C-K-RAS	✗	✓	✗	✗	✗	✗	✗
PI of CYLD; DSG1	✓	✗	✗	✗	✗	✗	✗
PI of DSG1; NEK2	✓	✗	✗	✗	✗	✗	✗
PI of CSH1; DSG1	✗	✗	✓	✗	✗	✗	✗
PI of DSG1; maga3_human	✓	✗	✗	✗	✗	✗	✗
PI of DSG1; ZNF598	✓	✗	✗	✗	✗	✗	✗
PI of DSG1; KIF14	✓	✗	✗	✗	✗	✗	✗
PI of ACSL5; ALDOC; CP; DSG1; DSP.	✗	✓	✗	✗	✗	✗	✗

DESMOPLAKIN: The network below contains 262 interaction nodes and 575 physical entity nodes.



Physical entities												
Type	Quantity											
protein	573											
complex	2											
Interactions												
Type	Quantity											
protein interaction	261											
biochemical reaction	1											
Interaction sources:												
Interaction name	Database											
	Biogrid	Intact	Hprd	Spike	Phosphopoint	Mint	Bind	Innatedb	Pid	Dip	Netpath	Phosphositeplus
PI of DSP; JUP	✓	✓	✓	✓	✗	✗	✓	✗	✓	✗	✗	✗
PI of JUP; ZFYVE9-1	✓	✓	✓	✓	✗	✓	✓	✗	✗	✗	✗	✗
PI of APC; JUP	✓	✓	✓	✓	✗	✗	✗	✓	✗	✗	✗	✗
PI of CTNNBIP1; JUP	✓	✓	✓	✓	✗	✗	✓	✗	✗	✗	✗	✗
JUP> JUP	✗	✗	✗	✓	✓	✓	✗	✗	✗	✓	✓	✓
PI of BIRC2; JUP	✓	✓	✓	✓	✗	✗	✗	✗	✗	✗	✗	✗
PI of ARHGDIA; JUP	✓	✓	✓	✓	✗	✗	✗	✗	✗	✗	✗	✗
PI of CDH2; JUP	✓	✓	✓	✗	✗	✗	✗	✗	✗	✓	✗	✗
PI of ERBB2 Gene; JUP	✓	✓	✓	✗	✓	✓	✗	✗	✗	✗	✗	✗
PI of JUP; WDYHV1	✓	✓	✓	✓	✗	✗	✗	✗	✗	✗	✗	✗
PI of JUP; TCF4	✓	✓	✓	✓	✗	✗	✗	✗	✗	✗	✗	✗
PI of JUP; TCF7L2	✓	✓	✓	✓	✗	✗	✗	✗	✗	✗	✗	✗
PI of JUP; ribc2_human	✓	✓	✓	✓	✗	✗	✗	✗	✗	✗	✗	✗
PI of CTNNA1; JUP	✓	✓	✓	✓	✗	✗	✗	✗	✗	✗	✗	✗
PI of DSG1; JUP	✓	✓	✓	✗	✗	✗	✗	✗	✗	✗	✗	✗
PI of CD31; JUP	✓	✓	✓	✗	✗	✗	✗	✗	✗	✗	✗	✗
PI of JUP; PSEN1(1-298)	✓	✗	✓	✓	✗	✗	✗	✗	✗	✗	✗	✗
PI of JUP; PTPRF	✓	✗	✓	✗	✗	✗	✗	✗	✓	✗	✗	✗
PI of AXIN1 gene; JUP	✓	✓	✓	✗	✗	✗	✗	✗	✗	✗	✗	✗
PI of JUP; NFKBIE	✓	✗	✓	✓	✓	✗	✗	✗	✗	✗	✗	✗
PI of CCDC130; JUP	✓	✓	✗	✗	✗	✓	✗	✗	✗	✗	✗	✗

PI of BTRC; JUP	✓	✗	✓	✓	✗	✗	✗	✗	✗	✗	✗
PI of DSG2; JUP	✓	✓	✓	✗	✗	✗	✗	✗	✗	✗	✗
PI of JUP; PHB2	✓	✓	✗	✓	✗	✗	✗	✗	✗	✗	✗
PI of JUP; PTPRJ	✗	✓	✓	✗	✗	✗	✓	✗	✗	✗	✗
PI of CDH1(155-882); JUP	✓	✗	✓	✗	✗	✗	✗	✗	✓	✗	✗
PI of JUP; rsp14_human	✓	✓	✗	✗	✗	✗	✗	✗	✗	✗	✗
PI of JUP; LGALS9	✓	✗	✗	✓	✗	✗	✗	✗	✗	✗	✗
PI of JUP; q9ui47-2	✓	✓	✗	✗	✗	✗	✗	✗	✗	✗	✗
PI of GalNAc-MUC1(24-1255); JUP	✓	✗	✓	✗	✗	✗	✗	✗	✗	✗	✗
PI of JUP; Pez	✓	✗	✓	✗	✗	✗	✗	✗	✗	✗	✗
PI of JUP; VE-cadherin	✓	✗	✓	✗	✗	✗	✗	✗	✗	✗	✗
PI of FYN; JUP	✗	✗	✓	✗	✓	✓	✗	✗	✗	✗	✗
PI of JUP; MyrG, p-Y530-SRC	✗	✗	✓	✗	✓	✓	✗	✗	✗	✗	✗
PI of CTNND1; JUP	✓	✗	✓	✗	✗	✗	✗	✗	✗	✗	✗
PI of DSC2; JUP	✓	✗	✓	✗	✗	✗	✗	✗	✗	✗	✗
PI of CTNNB1; JUP	✓	✓	✗	✗	✗	✗	✗	✗	✗	✗	✗
PI of JUP; NFATc4	✓	✓	✗	✗	✗	✗	✗	✗	✗	✗	✗
PI of CTNNA2; JUP	✓	✓	✗	✗	✗	✗	✗	✗	✗	✗	✗
PI of JUP; prr35_human	✓	✓	✗	✗	✗	✗	✗	✗	✗	✗	✗
PI of DSG3; JUP	✓	✗	✓	✗	✗	✗	✗	✗	✗	✗	✗
PI of JUP; q96jb5-2	✗	✓	✗	✓	✗	✗	✗	✗	✗	✗	✗
PI of DDX6; JUP	✓	✓	✗	✗	✗	✗	✗	✗	✗	✗	✗
PI of FHL2; JUP	✓	✓	✗	✗	✗	✗	✗	✗	✗	✗	✗
PI of DSC3; JUP	✓	✗	✓	✗	✗	✗	✗	✗	✗	✗	✗
PI of JUP; PKP3	✓	✗	✗	✗	✗	✗	✓	✗	✗	✗	✗
PI of JUP; p-6Y-EGFR	✓	✓	✗	✗	✗	✗	✗	✗	✗	✗	✗
PI of EED; JUP	✓	✗	✗	✗	✗	✗	✗	✓	✗	✗	✗
PI of DSC1; JUP	✓	✗	✓	✗	✗	✗	✗	✗	✗	✗	✗
PI of FER; JUP	✗	✗	✓	✗	✓	✓	✗	✗	✗	✗	✗
PI of JUP; p-10Y-ERBB3-1	✓	✓	✗	✗	✗	✗	✗	✗	✗	✗	✗
PI of JUP; RP3-480J14.1	✓	✗	✓	✗	✗	✗	✗	✗	✗	✗	✗
PI of JUP; PKP2	✓	✗	✓	✗	✗	✗	✗	✗	✗	✗	✗

PI of JUP; LRPPRC	✓	✗	✗	✗	✗	✗	✗	✗	✗	✗	✗	✗
PI of CHD3; JUP	✓	✗	✗	✗	✗	✗	✗	✗	✗	✗	✗	✗
PI of JUP; MCM5	✓	✗	✗	✗	✗	✗	✗	✗	✗	✗	✗	✗
PI of GJB1 gene; JUP	✓	✗	✗	✗	✗	✗	✗	✗	✗	✗	✗	✗
PI of JUP; NME1	✓	✗	✗	✗	✗	✗	✗	✗	✗	✗	✗	✗
PI of JUP; RPL21	✓	✗	✗	✗	✗	✗	✗	✗	✗	✗	✗	✗
PI of JUP; ST13	✓	✗	✗	✗	✗	✗	✗	✗	✗	✗	✗	✗
PI of HRC; JUP	✗	✓	✗	✗	✗	✗	✗	✗	✗	✗	✗	✗
PI of JUP; zup1_human	✓	✗	✗	✗	✗	✗	✗	✗	✗	✗	✗	✗
PI of JUP; KIF20A	✓	✗	✗	✗	✗	✗	✗	✗	✗	✗	✗	✗
PI of HSPA5; JUP	✓	✗	✗	✗	✗	✗	✗	✗	✗	✗	✗	✗
PI of JUP; TRMT1	✓	✗	✗	✗	✗	✗	✗	✗	✗	✗	✗	✗
PI of JUP; PKD1	✗	✗	✓	✗	✗	✗	✗	✗	✗	✗	✗	✗
PI of GGC-RAB8B; JUP	✓	✗	✗	✗	✗	✗	✗	✗	✗	✗	✗	✗
PI of JUP; XRCC6	✓	✗	✗	✗	✗	✗	✗	✗	✗	✗	✗	✗
PI of JUP; TCTP	✗	✗	✗	✗	✗	✗	✓	✗	✗	✗	✗	✗
PI of JUP; TARS	✓	✗	✗	✗	✗	✗	✗	✗	✗	✗	✗	✗
PI of JUP; MSH2 Gene	✓	✗	✗	✗	✗	✗	✗	✗	✗	✗	✗	✗
PI of GAPDH; JUP	✓	✗	✗	✗	✗	✗	✗	✗	✗	✗	✗	✗
PI of JUP; q69yn44	✓	✗	✗	✗	✗	✗	✗	✗	✗	✗	✗	✗
PI of FLNA; JUP	✓	✗	✗	✗	✗	✗	✗	✗	✗	✗	✗	✗
PI of JUP; litd1_human	✗	✗	✗	✗	✗	✗	✓	✗	✗	✗	✗	✗
PI of ATP6AP2; JUP	✓	✗	✗	✗	✗	✗	✗	✗	✗	✗	✗	✗
PI of HNRNPA1; JUP	✓	✗	✗	✗	✗	✗	✗	✗	✗	✗	✗	✗
PI of JUP; frmd5_human	✗	✓	✗	✗	✗	✗	✗	✗	✗	✗	✗	✗
PI of JUP; p-T218, Y220-MAPK7	✓	✗	✗	✗	✗	✗	✗	✗	✗	✗	✗	✗
PI of JUP; PTEN gene	✓	✗	✗	✗	✗	✗	✗	✗	✗	✗	✗	✗
PI of JUP; RPS19	✓	✗	✗	✗	✗	✗	✗	✗	✗	✗	✗	✗
PI of JUP; NEK2	✓	✗	✗	✗	✗	✗	✗	✗	✗	✗	✗	✗
PI of JUP; p-T160-CDK2	✓	✗	✗	✗	✗	✗	✗	✗	✗	✗	✗	✗
PI of JUP; METTL14	✓	✗	✗	✗	✗	✗	✗	✗	✗	✗	✗	✗
PI of ABCC2; JUP	✓	✗	✗	✗	✗	✗	✗	✗	✗	✗	✗	✗
PI of IARS2; JUP	✓	✗	✗	✗	✗	✗	✗	✗	✗	✗	✗	✗

PI of DUSP4; JUP	✓	✗	✗	✗	✗	✗	✗	✗	✗	✗	✗
PI of JUP; KIF23	✓	✗	✗	✗	✗	✗	✗	✗	✗	✗	✗
PI of APEX1; JUP	✓	✗	✗	✗	✗	✗	✗	✗	✗	✗	✗
PI of CREBBP; JUP	✓	✗	✗	✗	✗	✗	✗	✗	✗	✗	✗
PI of JUP; SAMHD1 gene	✓	✗	✗	✗	✗	✗	✗	✗	✗	✗	✗
PI of BRF2; JUP	✓	✗	✗	✗	✗	✗	✗	✗	✗	✗	✗
PI of JUP; PolyUb-PTRH2	✓	✗	✗	✗	✗	✗	✗	✗	✗	✗	✗
PI of JUP; MYO6	✓	✗	✗	✗	✗	✗	✗	✗	✗	✗	✗
PI of 3.6.1.-; ABCD3; ACBD5; ALDH18A1-1; ANXA1.	✗	✓	✗	✗	✗	✗	✗	✗	✗	✗	✗
PI of JUP; PolyUb-VDAC2	✓	✗	✗	✗	✗	✗	✗	✗	✗	✗	✗
PI of GH1; JUP	✗	✓	✗	✗	✗	✗	✗	✗	✗	✗	✗
PI of GBF1; JUP	✓	✗	✗	✗	✗	✗	✗	✗	✗	✗	✗
PI of JUP; nascent EEF2	✓	✗	✗	✗	✗	✗	✗	✗	✗	✗	✗
PI of JUP; PRKAR1A	✓	✗	✗	✗	✗	✗	✗	✗	✗	✗	✗
PI of JUP; MYL6	✓	✗	✗	✗	✗	✗	✗	✗	✗	✗	✗
PI of JUP; PHGDH	✓	✗	✗	✗	✗	✗	✗	✗	✗	✗	✗
PI of CYLD; JUP	✓	✗	✗	✗	✗	✗	✗	✗	✗	✗	✗
PI of HSD17B10; JUP	✓	✗	✗	✗	✗	✗	✗	✗	✗	✗	✗
PI of JUP; NFAT90	✓	✗	✗	✗	✗	✗	✗	✗	✗	✗	✗
PI of JUP; MSN	✓	✗	✗	✗	✗	✗	✗	✗	✗	✗	✗
PI of JUP; PFTAIKE2	✓	✗	✗	✗	✗	✗	✗	✗	✗	✗	✗
PI of JUP; MAP2K1	✓	✗	✗	✗	✗	✗	✗	✗	✗	✗	✗
PI of JUP; RBM3	✓	✗	✗	✗	✗	✗	✗	✗	✗	✗	✗
PI of JUP; PSMC5	✓	✗	✗	✗	✗	✗	✗	✗	✗	✗	✗
PI of JUP; SPTAN1	✓	✗	✗	✗	✗	✗	✗	✗	✗	✗	✗
PI of JUP; p-T161-CDK1	✓	✗	✗	✗	✗	✗	✗	✗	✗	✗	✗
PI of JUP; RNF123	✓	✗	✗	✗	✗	✗	✗	✗	✗	✗	✗
PI of ILF2; JUP	✓	✗	✗	✗	✗	✗	✗	✗	✗	✗	✗
PI of JUP; PXLP-K200-PSAT1	✓	✗	✗	✗	✗	✗	✗	✗	✗	✗	✗
PI of 3.6.1.-; AASDHPPPT; ACIN1; ADRM1; AIF;	✗	✓	✗	✗	✗	✗	✗	✗	✗	✗	✗

PI of JUP; p-S214, S576 ARAF	✓	✗	✗	✗	✗	✗	✗	✗	✗	✗	✗
PI of DSG1; DSP; GAB1; GRB2-1; HSPA1A.	✗	✓	✗	✗	✗	✗	✗	✗	✗	✗	✗
PI of JUP; nenf_human.	✓	✗	✗	✗	✗	✗	✗	✗	✗	✗	✗
PI of JUP; LEF1	✗	✓	✗	✗	✗	✗	✗	✗	✗	✗	✗
PI of JUP; PI4KA	✓	✗	✗	✗	✗	✗	✗	✗	✗	✗	✗
PI of COPS5; JUP	✓	✗	✗	✗	✗	✗	✗	✗	✗	✗	✗
PI of JUP; RPL28	✓	✗	✗	✗	✗	✗	✗	✗	✗	✗	✗
PI of DES; JUP	✓	✗	✗	✗	✗	✗	✗	✗	✗	✗	✗
PI of GRB10; JUP	✓	✗	✗	✗	✗	✗	✗	✗	✗	✗	✗
PI of DLD; JUP	✓	✗	✗	✗	✗	✗	✗	✗	✗	✗	✗
PI of CDH15; JUP	✗	✗	✓	✗	✗	✗	✗	✗	✗	✗	✗
PI of C-K-RAS; JUP	✓	✗	✗	✗	✗	✗	✗	✗	✗	✗	✗
PI of JUP; TRK1	✓	✗	✗	✗	✗	✗	✗	✗	✗	✗	✗
PI of JUP; RPS2	✓	✗	✗	✗	✗	✗	✗	✗	✗	✗	✗
PI of JUP; sil1_human	✗	✗	✗	✓	✗	✗	✗	✗	✗	✗	✗
PI of HDAC2; JUP	✓	✗	✗	✗	✗	✗	✗	✗	✗	✗	✗
PI of ALDOA; JUP	✓	✗	✗	✗	✗	✗	✗	✗	✗	✗	✗
PI of JUP; NARS	✓	✗	✗	✗	✗	✗	✗	✗	✗	✗	✗
PI of JUP; YWHAE	✓	✗	✗	✗	✗	✗	✗	✗	✗	✗	✗
PI of CHMP4B; JUP	✓	✗	✗	✗	✗	✗	✗	✗	✗	✗	✗
PI of JUP; RPL10A	✓	✗	✗	✗	✗	✗	✗	✗	✗	✗	✗
PI of JUP; OAZ3	✓	✗	✗	✗	✗	✗	✗	✗	✗	✗	✗
PI of JUP; pihd1_human	✓	✗	✗	✗	✗	✗	✗	✗	✗	✗	✗
PI of JUP; PRPF8	✓	✗	✗	✗	✗	✗	✗	✗	✗	✗	✗
PI of CDH10; JUP	✓	✗	✗	✗	✗	✗	✗	✗	✗	✗	✗
PI of JUP; RPS13	✓	✗	✗	✗	✗	✗	✗	✗	✗	✗	✗
PI of GRK5; JUP	✓	✗	✗	✗	✗	✗	✗	✗	✗	✗	✗
PI of JUP; mitok_human.	✓	✗	✗	✗	✗	✗	✗	✗	✗	✗	✗
PI of JUP; q5t9g42	✓	✗	✗	✗	✗	✗	✗	✗	✗	✗	✗
PI of INSIG2; JUP	✓	✗	✗	✗	✗	✗	✗	✗	✗	✗	✗
PI of JUP; PINK1 gene	✓	✗	✗	✗	✗	✗	✗	✗	✗	✗	✗
PI of CIT-3; JUP	✓	✗	✗	✗	✗	✗	✗	✗	✗	✗	✗
PI of JUP; cf298_human	✓	✗	✗	✗	✗	✗	✗	✗	✗	✗	✗

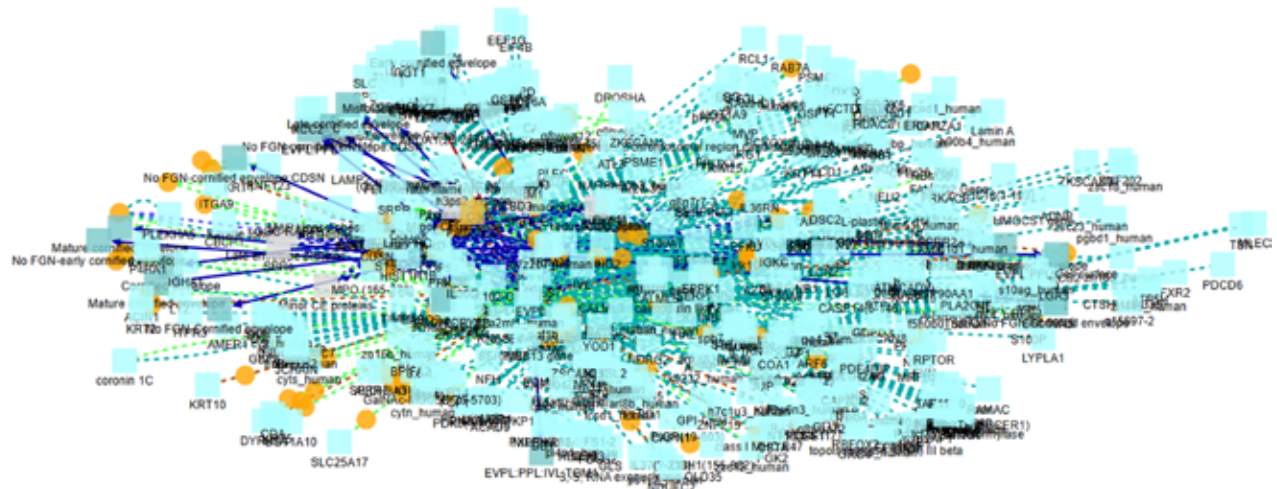
PI of JUP; XRCC5	✓	✗	✗	✗	✗	✗	✗	✗	✗	✗	✗	✗
PI of CDH8; JUP	✓	✗	✗	✗	✗	✗	✗	✗	✗	✗	✗	✗
PI of JUP; capicua.	✓	✗	✗	✗	✗	✗	✗	✗	✗	✗	✗	✗
PI of CHD4; JUP	✓	✗	✗	✗	✗	✗	✗	✗	✗	✗	✗	✗
PI of AMER1; APC; CDH10; CTNNA1; CTNNB1.	✗	✓	✗	✗	✗	✗	✗	✗	✗	✗	✗	✗
PI of ARCN1; JUP	✓	✗	✗	✗	✗	✗	✗	✗	✗	✗	✗	✗
PI of EEF1A1; JUP	✓	✗	✗	✗	✗	✗	✗	✗	✗	✗	✗	✗
PI of JUP; RASA1	✓	✗	✗	✗	✗	✗	✗	✗	✗	✗	✗	✗
PI of JUP; a0a0s2z4m1_human	✗	✓	✗	✗	✗	✗	✗	✗	✗	✗	✗	✗
PI of JUP; TRIM25	✓	✗	✗	✗	✗	✗	✗	✗	✗	✗	✗	✗
PI of CUL7; JUP	✓	✗	✗	✗	✗	✗	✗	✗	✗	✗	✗	✗
PI of BIRC3; JUP	✓	✗	✗	✗	✗	✗	✗	✗	✗	✗	✗	✗
PI of JUP; q96f31_human	✗	✓	✗	✗	✗	✗	✗	✗	✗	✗	✗	✗
PI of ITGB4; JUP	✓	✗	✗	✗	✗	✗	✗	✗	✗	✗	✗	✗
PI of JUP; PEBP1	✓	✗	✗	✗	✗	✗	✗	✗	✗	✗	✗	✗
PI of HSBP1 gene; JUP	✓	✗	✗	✗	✗	✗	✗	✗	✗	✗	✗	✗
PI of GANAB; JUP	✓	✗	✗	✗	✗	✗	✗	✗	✗	✗	✗	✗
PI of AHCY; JUP	✓	✗	✗	✗	✗	✗	✗	✗	✗	✗	✗	✗
PI of EPLIN; JUP	✓	✗	✗	✗	✗	✗	✗	✗	✗	✗	✗	✗
PI of JUP; q9bx46-2	✓	✗	✗	✗	✗	✗	✗	✗	✗	✗	✗	✗
PI of JUP; rmc1_human	✓	✗	✗	✗	✗	✗	✗	✗	✗	✗	✗	✗
PI of JUP; WWTR1	✗	✓	✗	✗	✗	✗	✗	✗	✗	✗	✗	✗
PI of JUP; STAG1	✓	✗	✗	✗	✗	✗	✗	✗	✗	✗	✗	✗
PI of JUP; USP1	✓	✗	✗	✗	✗	✗	✗	✗	✗	✗	✗	✗
PI of CAT gene; JUP	✓	✗	✗	✗	✗	✗	✗	✗	✗	✗	✗	✗
PI of JUP; LSF	✓	✗	✗	✗	✗	✗	✗	✗	✗	✗	✗	✗
PI of BCL2L1; JUP	✓	✗	✗	✗	✗	✗	✗	✗	✗	✗	✗	✗
PI of GOLT1B; JUP	✓	✗	✗	✗	✗	✗	✗	✗	✗	✗	✗	✗
PI of JUP; TDP-43	✓	✗	✗	✗	✗	✗	✗	✗	✗	✗	✗	✗
PI of FBXW7alpha; JUP	✓	✗	✗	✗	✗	✗	✗	✗	✗	✗	✗	✗
PI of JUP; VPS4B	✓	✗	✗	✗	✗	✗	✗	✗	✗	✗	✗	✗
PI of JUP; RPLP2	✓	✗	✗	✗	✗	✗	✗	✗	✗	✗	✗	✗

PI of JUP; MAPRE1	✓	✗	✗	✗	✗	✗	✗	✗	✗	✗	✗	✗
PI of COQ2; JUP	✓	✗	✗	✗	✗	✗	✗	✗	✗	✗	✗	✗
PI of JUP; SDHA	✓	✗	✗	✗	✗	✗	✗	✗	✗	✗	✗	✗
PI of JUP; PLOD2	✓	✗	✗	✗	✗	✗	✗	✗	✗	✗	✗	✗
PI of JUP; MRPL9	✓	✗	✗	✗	✗	✗	✗	✗	✗	✗	✗	✗
PI of JUP; KRT17	✓	✗	✗	✗	✗	✗	✗	✗	✗	✗	✗	✗
PI of DBN1; JUP	✓	✗	✗	✗	✗	✗	✗	✗	✗	✗	✗	✗
PI of CUL2; JUP	✓	✗	✗	✗	✗	✗	✗	✗	✗	✗	✗	✗
PI of JUP; SOAT1	✓	✗	✗	✗	✗	✗	✗	✗	✗	✗	✗	✗
PI of JUP; PAN2	✓	✗	✗	✗	✗	✗	✗	✗	✗	✗	✗	✗
PI of JUP; trip4_human	✓	✗	✗	✗	✗	✗	✗	✗	✗	✗	✗	✗
PI of JUP; PLEKHA4	✓	✗	✗	✗	✗	✗	✗	✗	✗	✗	✗	✗
PI of JUP; PHB	✓	✗	✗	✗	✗	✗	✗	✗	✗	✗	✗	✗
PI of BRCA1; JUP	✓	✗	✗	✗	✗	✗	✗	✗	✗	✗	✗	✗
PI of CHMP4C; JUP	✓	✗	✗	✗	✗	✗	✗	✗	✗	✗	✗	✗
PI of JUP; PDE4DIP	✓	✗	✗	✗	✗	✗	✗	✗	✗	✗	✗	✗
PI of EP300; JUP	✓	✗	✗	✗	✗	✗	✗	✗	✗	✗	✗	✗
PI of JUP; SHC1	✓	✗	✗	✗	✗	✗	✗	✗	✗	✗	✗	✗
PI of HSP90AA1; JUP	✓	✗	✗	✗	✗	✗	✗	✗	✗	✗	✗	✗
PI of DPYSL3; JUP	✓	✗	✗	✗	✗	✗	✗	✗	✗	✗	✗	✗
PI of ESR1; JUP	✓	✗	✗	✗	✗	✗	✗	✗	✗	✗	✗	✗
PI of CDC73; JUP	✓	✗	✗	✗	✗	✗	✗	✗	✗	✗	✗	✗
PI of JUP; RNF4	✓	✗	✗	✗	✗	✗	✗	✗	✗	✗	✗	✗
PI of JUP; SUR8	✓	✗	✗	✗	✗	✗	✗	✗	✗	✗	✗	✗
PI of JUP; p-5Y-GAB2	✓	✗	✗	✗	✗	✗	✗	✗	✗	✗	✗	✗
PI of FANCD2 Gene; JUP	✓	✗	✗	✗	✗	✗	✗	✗	✗	✗	✗	✗
PI of JUP; RPL12	✓	✗	✗	✗	✗	✗	✗	✗	✗	✗	✗	✗
PI of JUP; NPPA (1-153)	✓	✗	✗	✗	✗	✗	✗	✗	✗	✗	✗	✗
PI of JUP; RAD51AP1	✓	✗	✗	✗	✗	✗	✗	✗	✗	✗	✗	✗
PI of JUP; p94	✓	✗	✗	✗	✗	✗	✗	✗	✗	✗	✗	✗
PI of JUP; MCM2	✓	✗	✗	✗	✗	✗	✗	✗	✗	✗	✗	✗
PI of JUP; tmm17_human	✓	✗	✗	✗	✗	✗	✗	✗	✗	✗	✗	✗
PI of JUP; WWOX	✓	✗	✗	✗	✗	✗	✗	✗	✗	✗	✗	✗

PI of CCDC8; JUP	✓	✗	✗	✗	✗	✗	✗	✗	✗	✗	✗
PI of JUP; q6zu80-1	✓	✗	✗	✗	✗	✗	✗	✗	✗	✗	✗
PI of B4GALT1; JUP	✓	✗	✗	✗	✗	✗	✗	✗	✗	✗	✗
PI of JUP; TBP	✓	✗	✗	✗	✗	✗	✗	✗	✗	✗	✗
PI of JUP; tbcd8_human	✗	✗	✗	✓	✗	✗	✗	✗	✗	✗	✗
PI of GAB1; JUP	✓	✗	✗	✗	✗	✗	✗	✗	✗	✗	✗
PI of JUP; gpt2l_human	✓	✗	✗	✗	✗	✗	✗	✗	✗	✗	✗
PI of JUP; MYC gene	✓	✗	✗	✗	✗	✗	✗	✗	✗	✗	✗
PI of APRT; JUP	✓	✗	✗	✗	✗	✗	✗	✗	✗	✗	✗
PI of JUP; RPS3A	✓	✗	✗	✗	✗	✗	✗	✗	✗	✗	✗
PI of CDH3; JUP	✓	✗	✗	✗	✗	✗	✗	✗	✗	✗	✗
PI of JUP; PDPK1	✓	✗	✗	✗	✗	✗	✗	✗	✗	✗	✗
PI of JUP; MYH9	✓	✗	✗	✗	✗	✗	✗	✗	✗	✗	✗
PI of HSP90AB1; JUP	✓	✗	✗	✗	✗	✗	✗	✗	✗	✗	✗
PI of GMCL1; JUP	✓	✗	✗	✗	✗	✗	✗	✗	✗	✗	✗
PI of JUP; csrn3_human	✗	✓	✗	✗	✗	✗	✗	✗	✗	✗	✗
PI of DYNLL1; JUP	✓	✗	✗	✗	✗	✗	✗	✗	✗	✗	✗
PI of JUP; ZNF598	✓	✗	✗	✗	✗	✗	✗	✗	✗	✗	✗
PI of ATP6V1B2; JUP	✓	✗	✗	✗	✗	✗	✗	✗	✗	✗	✗
PI of JUP; KIF14	✓	✗	✗	✗	✗	✗	✗	✗	✗	✗	✗
PI of ABCE1; JUP	✓	✗	✗	✗	✗	✗	✗	✗	✗	✗	✗
PI of FASN; JUP	✓	✗	✗	✗	✗	✗	✗	✗	✗	✗	✗
PI of JUP; x5dqt8_human	✗	✓	✗	✗	✗	✗	✗	✗	✗	✗	✗
PI of GMPPB; JUP	✓	✗	✗	✗	✗	✗	✗	✗	✗	✗	✗
PI of CLTC; JUP	✓	✗	✗	✗	✗	✗	✗	✗	✗	✗	✗
PI of ECT2; JUP	✓	✗	✗	✗	✗	✗	✗	✗	✗	✗	✗
PI of JUP; RAB5A	✓	✗	✗	✗	✗	✗	✗	✗	✗	✗	✗
PI of JUP; UBXN1	✓	✗	✗	✗	✗	✗	✗	✗	✗	✗	✗
PI of CAPZB; JUP	✓	✗	✗	✗	✗	✗	✗	✗	✗	✗	✗
PI of HSPA4; JUP	✓	✗	✗	✗	✗	✗	✗	✗	✗	✗	✗
PI of JUP; synpo_human.	✓	✗	✗	✗	✗	✗	✗	✗	✗	✗	✗
PI of ANLN; JUP	✓	✗	✗	✗	✗	✗	✗	✗	✗	✗	✗
PI of JUP; RHOA	✓	✗	✗	✗	✗	✗	✗	✗	✗	✗	✗
PI of JUP; PRC1	✓	✗	✗	✗	✗	✗	✗	✗	✗	✗	✗

PI of JUP; YEATS4	✓	✗	✗	✗	✗	✗	✗	✗	✗	✗	✗	✗
PI of JUP; RUVBL2	✓	✗	✗	✗	✗	✗	✗	✗	✗	✗	✗	✗
PI of JUP; PDE3A	✓	✗	✗	✗	✗	✗	✗	✗	✗	✗	✗	✗
PI of JUP; SLC25A44	✓	✗	✗	✗	✗	✗	✗	✗	✗	✗	✗	✗
PI of JUP; RALBP1	✓	✗	✗	✗	✗	✗	✗	✗	✗	✗	✗	✗
PI of JUP; RAB7A	✓	✗	✗	✗	✗	✗	✗	✗	✗	✗	✗	✗
PI of JUP; TRIM14 gene	✓	✗	✗	✗	✗	✗	✗	✗	✗	✗	✗	✗
PI of JUP; NCK1	✓	✗	✗	✗	✗	✗	✗	✗	✗	✗	✗	✗
PI of CSDE1; JUP	✓	✗	✗	✗	✗	✗	✗	✗	✗	✗	✗	✗
PI of C1QBP; JUP	✓	✗	✗	✗	✗	✗	✗	✗	✗	✗	✗	✗
PI of HSPH1; JUP	✓	✗	✗	✗	✗	✗	✗	✗	✗	✗	✗	✗
PI of JUP; PRDX2	✓	✗	✗	✗	✗	✗	✗	✗	✗	✗	✗	✗
PI of JUP; SNIP1	✓	✗	✗	✗	✗	✗	✗	✗	✗	✗	✗	✗
PI of CUL4B; JUP	✓	✗	✗	✗	✗	✗	✗	✗	✗	✗	✗	✗

Envoplakin: The network below contains 77 interaction nodes and 476 physical entity nodes.

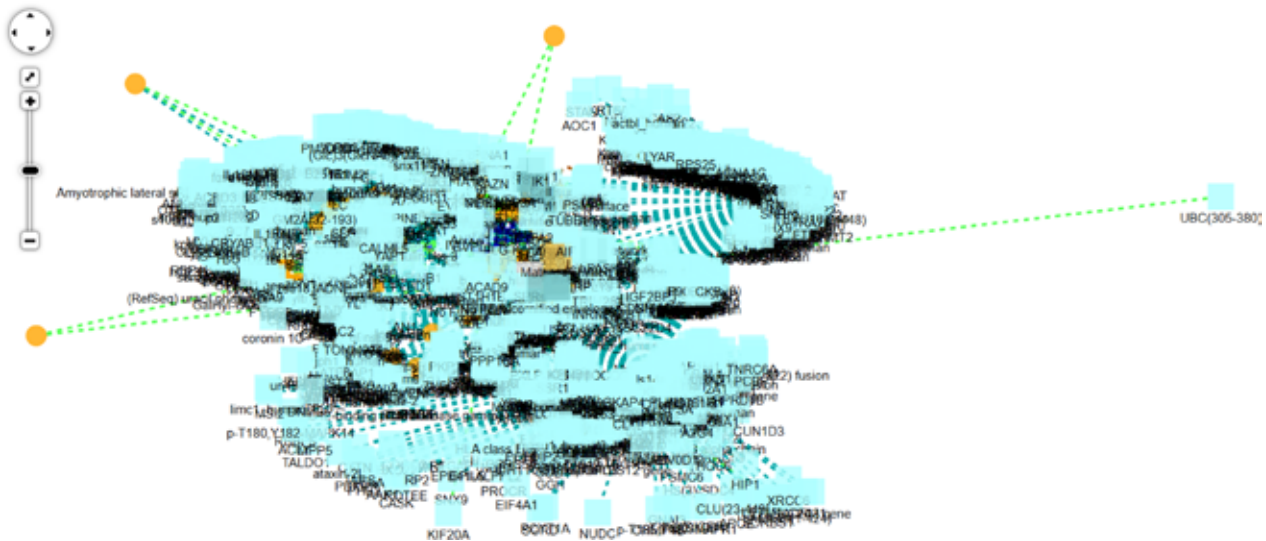


Physical entities						
Type	Quantity					
group	5					
unknown	1					
complex	18					
compound	3					
protein	448					
gene	1					
Interactions						
Type	Quantity					
protein interaction	75					
biochemical reaction	1					
gene regulation	1					
Interaction sources: Interaction name						
	Biogrid	Intact	Reactome	Hprd	Spike	Pid
PI of EVPL; PPL	✓	✗	✓	✓	✓	✗
PI of EVPL; PLEKHA5	✓	✓	✗	✗	✓	✗
PI of DSP; EVPL	✓	✗	✗	✓	✗	✗
PI of EVPL; coronin 1C	✓	✓	✗	✗	✗	✗
PI of ALOX12B; ALOXE3; ASAHI(22-142); CTSL2; Calmodulin like 3.	✗	✓	✗	✗	✗	✗
PI of EVPL; PFTAIRE2	✓	✗	✗	✗	✗	✗
PI of CDH1(155-882); EVPL	✓	✗	✗	✗	✗	✗
PI of CD207; Calmodulin like 3; EVPL; IGHG1; IGHG2.	✗	✓	✗	✗	✗	✗
PI of EVPL; SPRR2A	✗	✗	✗	✓	✗	✗
PI of EVPL; KRT1	✗	✗	✗	✓	✗	✗
[1] EVPL + [1] PPL -> [1] EVPL: PPL	✗	✗	✓	✗	✗	✗
PI of DYRK1A; EVPL	✓	✗	✗	✗	✗	✗
PI of EVPL; RNF123	✓	✗	✗	✗	✗	✗
PI of EVPL; TBC1D22B	✓	✗	✗	✗	✗	✗
PI of EVPL; PI4KA	✓	✗	✗	✗	✗	✗
PI of CDSN; CHOL; EVPL; Fatty Acid; IVL.	✗	✗	✓	✗	✗	✗
PI of EVPL; FCF1	✓	✗	✗	✗	✗	✗
PI of CDSN; CHOL; EVPL; FLG-Keratin filament network; Fatty Acid.	✗	✗	✓	✗	✗	✗

PI of ACPP; ARG1; CALML5; CASP14(6-146); CRYAB.	✗	✓	✗	✗	✗	✗
PI of EVPL; q9bx46-2	✓	✗	✗	✗	✗	✗
PI of EVPL; FLG-Keratin filament network; IVL; LOR; Minor CE proteins.	✗	✗	✓	✗	✗	✗
PI of CALML5; CBCP1; EC 3.1.11.2; EVPL; FGB (31-44).	✗	✓	✗	✗	✗	✗
PI of CHOL; EVPL; FLG-Keratin filament network; Fatty Acid; IVL.	✗	✗	✓	✗	✗	✗
PI of 3.6.1.-; EVPL	✓	✗	✗	✗	✗	✗
PI of EVPL; KRT14	✓	✗	✗	✗	✗	✗
PI of ADNP; Ack-HIST1H2AG; C3a; CALML5; EC 3.1.11.2.	✗	✓	✗	✗	✗	✗
PI of EVPL; UGT1A10	✓	✗	✗	✗	✗	✗
PI of EVPL; PI3(61-117)	✗	✗	✗	✓	✗	✗
PI of EVPL; IVL; PPL; TGM1	✗	✗	✓	✗	✗	✗
PI of CASQ2 polymer; EVPL; IVL; LOR; Minor CE proteins.	✗	✗	✓	✗	✗	✗
PI of 3.6.1.-; 7xHC-HP (19-160); AKR1B10; ALOX15; ANXA1.	✗	✓	✗	✗	✗	✗
PI of EVPL; frmd1_human	✓	✗	✗	✗	✗	✗
Gene regulation of EVPL gene	✗	✗	✗	✗	✗	✓
PI of ACAD9; EVPL	✓	✗	✗	✗	✗	✗
PI of EVPL; IVL; Keratin tonofilament: Desmosome network; LOR; Minor CE proteins.	✗	✗	✓	✗	✗	✗
PI of CDSN; CHOL; EVPL; FLG-Keratin filament network; Fatty Acid.	✗	✗	✓	✗	✗	✗
PI of ACTN1; ADSL; AFG3L2; AHCYL1; AIF.	✗	✓	✗	✗	✗	✗
PI of EVPL; SPRR3	✗	✗	✗	✓	✗	✗
PI of ALDH1A3; CALML5; EVPL; HSPA5; IGKC.	✗	✓	✗	✗	✗	✗
PI of EVPL; TSNAX	✓	✗	✗	✗	✗	✗
PI of EVPL; KRT10	✗	✗	✗	✓	✗	✗
PI of EVPL; q8n7r7-3	✓	✗	✗	✗	✗	✗
PI of EVPL; SLC25A17	✓	✗	✗	✗	✗	✗
PI of EVPL; IVL	✗	✗	✗	✓	✗	✗
PI of EVPL; KRT5	✗	✗	✗	✓	✗	✗
PI of EVPL; styl1_human	✓	✗	✗	✗	✗	✗
PI of EVPL; ITGA9	✓	✗	✗	✗	✗	✗
PI of ACVR1B; AKR1B10; ATP5H; C4BPA; CETN2.	✗	✓	✗	✗	✗	✗
PI of ALDH3A1; AMER1; AMY1C; ANXA1; BPIFA2.	✗	✓	✗	✗	✗	✗
PI of ADH7; CDSN; CRYAB; Calmodulin like 3; DSC2	✗	✓	✗	✗	✗	✗
PI of EVPL; FANCD2 Gene	✓	✗	✗	✗	✗	✗

PI of EVPL; LOR	✗	✗	✗	✓	✗	✗
PI of CASQ2 polymer; CHOL; EVPL; Fatty Acid; IVL	✗	✗	✓	✗	✗	✗
PI of CDSN; CHOL; EVPL; Fatty Acid; IVL.	✗	✗	✓	✗	✗	✗
PI of EVPL; p17040-3	✓	✗	✗	✗	✗	✗
PI of EVPL; KRT2	✗	✗	✗	✓	✗	✗
PI of ANKRD40; CALML5; CRYAB; Calmodulin like 3; EPPK1.	✗	✓	✗	✗	✗	✗
PI of EVPL; P4HA1	✓	✗	✗	✗	✗	✗
PI of EVPL; zsc12_human	✓	✗	✗	✗	✗	✗
PI of ACADVL; AKAP9; AKR1B10; ALDH1A3; ARF6.	✗	✓	✗	✗	✗	✗
PI of CHOL; EVPL; Fatty Acid; IVL; Keratin tonofilament: Desmosome network	✗	✗	✓	✗	✗	✗
PI of CDA; EVPL	✓	✗	✗	✗	✗	✗
PI of CSTA; EVPL	✗	✗	✗	✓	✗	✗
PI of EVPL; RPL27	✓	✗	✗	✗	✗	✗
PI of CASQ2 polymer; CDSN; CHOL; EVPL; Fatty Acid.	✗	✗	✓	✗	✗	✗
PI of CASQ2 polymer; CDSN; CHOL; EVPL; Fatty Acid.	✗	✗	✓	✗	✗	✗
PI of EVPL; ps1c2_human	✗	✗	✗	✓	✗	✗
PI of ACIN1; EVPL	✓	✗	✗	✗	✗	✗
PI of ACBD3; ACPP; AKR1B10; ALOX12B; ARF6.	✗	✓	✗	✗	✗	✗
PI of EVPL; IVL; PPL; TGM1; reduced acceptor	✗	✗	✓	✗	✗	✗
PI of ACAD9; BPIFA2; COA1; COXPDL3; DBT	✗	✓	✗	✗	✗	✗
PI of 2xHC-SQRDL (1-450); ACPP; AKR1B10; ALDH1A3; APOBEC3A	✗	✓	✗	✗	✗	✗
PI of EVPL; PDE4DIP	✓	✗	✗	✗	✗	✗
PI of EVPL; RPTOR	✓	✗	✗	✗	✗	✗
PI of DROSHA; EVPL	✓	✗	✗	✗	✗	✗
PI of EVPL; PPL; reduced acceptor	✗	✗	✓	✗	✗	✗
PI of EVPL; susd3_human	✓	✗	✗	✗	✗	✗

Periplakin: The network below contains 132 interaction nodes and 1440 physical entity nodes.



Physical entities	
Type	Quantity
unknown	1
protein	1411
complex	19
group	6
compound	3
Interactions	
Type	Quantity
protein interaction	129
biochemical reaction	3

Interaction sources: Interaction name	Database								
	Biogrid	Intact	Reactome	Hprd	Spike	Mint	Bind	Phosphopoint	Innatedb
PI of PPL; SKIL	✓	✓	✗	✓	✓	✓	✓	✗	✗
PI of PPL; p-T308, S473-AKT1	✓	✓	✗	✓	✓	✗	✗	✓	✗
PI of PPL; USP7	✓	✓	✗	✓	✓	✗	✗	✗	✗
PI of PPL; VIM	✓	✓	✗	✓	✓	✗	✗	✗	✗
PI of EVPL; PPL	✓	✗	✓	✓	✓	✗	✗	✗	✗
PI of PPHLN1; PPL	✓	✗	✗	✓	✓	✗	✗	✗	✗
PI of Collagen XVII; PPL	✓	✗	✗	✓	✓	✗	✗	✗	✗
PI of ALAS1 gene; PPL	✓	✓	✗	✗	✗	✗	✗	✗	✓
PI of KAZN; PPL	✓	✗	✓	✓	✗	✗	✗	✗	✗
PI of PLEKHA7; PPL	✓	✓	✗	✗	✗	✗	✗	✗	✗
PI of KRT8; PPL	✓	✓	✗	✗	✗	✗	✗	✗	✗
PI of KRT39; PPL	✓	✓	✗	✗	✗	✗	✗	✗	✗
PI of PPL; zn474_human	✓	✓	✗	✗	✗	✗	✗	✗	✗
PI of HNRNPM; PPL	✓	✓	✗	✗	✗	✗	✗	✗	✗
PI of CEP57L1; PPL	✓	✓	✗	✗	✗	✗	✗	✗	✗
PI of PPL; kcd21_human	✓	✓	✗	✗	✗	✗	✗	✗	✗
PI of PPL; TRIM27	✓	✓	✗	✗	✗	✗	✗	✗	✗
PI of PPL; ZNF213	✓	✓	✗	✗	✗	✗	✗	✗	✗
PI of KRT25; PPL	✓	✓	✗	✗	✗	✗	✗	✗	✗

PI of ACTR5; PPL	✓	✓	✗	✗	✗	✗	✗	✗
PI of PPL; zsc16_human	✓	✓	✗	✗	✗	✗	✗	✗
PI of PPL; ZNF263	✓	✓	✗	✗	✗	✗	✗	✗
PI of PPL; RAB3IP	✓	✓	✗	✗	✗	✗	✗	✗
PI of HECTD3; PPL	✓	✓	✗	✗	✗	✗	✗	✗
PI of PPL; cf141_human	✓	✓	✗	✗	✗	✗	✗	✗
PI of PPL; skap_human	✓	✓	✗	✗	✗	✗	✗	✗
PI of ANXA9; PPL	✗	✓	✗	✗	✗	✓	✗	✗
PI of MRPL28; PPL	✓	✓	✗	✗	✗	✗	✗	✗
PI of PPL; ZNF165	✓	✓	✗	✗	✗	✗	✗	✗
PI of PPL; ZSCAN1	✓	✓	✗	✗	✗	✗	✗	✗
PI of LETM1; PPL	✓	✓	✗	✗	✗	✗	✗	✗
PI of AHCYL1; PPL	✓	✓	✗	✗	✗	✗	✗	✗
PI of MGC23937; PPL	✓	✓	✗	✗	✗	✗	✗	✗
PI of PPL; TRAF2	✓	✓	✗	✗	✗	✗	✗	✗
PI of IK1; PPL	✓	✓	✗	✗	✗	✗	✗	✗
PI of PPL; pbx4_human	✓	✓	✗	✗	✗	✗	✗	✗
PI of PPL; RALBP1	✓	✓	✗	✗	✗	✗	✗	✗
PI of DES; PPL	✓	✓	✗	✗	✗	✗	✗	✗
PI of PPL; zbt26_human	✓	✓	✗	✗	✗	✗	✗	✗
PI of PICK1; PPL	✓	✓	✗	✗	✗	✗	✗	✗
PI of PPL; pof1b_human	✓	✓	✗	✗	✗	✗	✗	✗
PI of PPL; TSC22D4	✓	✓	✗	✗	✗	✗	✗	✗
PI of PPL; WRAP73	✗	✓	✗	✗	✓	✗	✗	✗
PI of KIF20A; PPL	✓	✗	✗	✗	✗	✗	✗	✗
PI of CALML5; IGHG1; IGKC; IVL; LCN2.	✗	✓	✗	✗	✗	✗	✗	✗
PI of ADNP; Ack-HIST1H2AG; C3a; CALML5; EC 3.1.11.2.	✗	✓	✗	✗	✗	✗	✗	✗
PI of FTH1; PPL	✓	✗	✗	✗	✗	✗	✗	✗
PI of ANLN; PPL	✓	✗	✗	✗	✗	✗	✗	✗
PI of 3.6.1.-; PPL	✓	✗	✗	✗	✗	✗	✗	✗
PI of ITSN1; PPL	✓	✗	✗	✗	✗	✗	✗	✗
PI of PPL; PTEN gene	✓	✗	✗	✗	✗	✗	✗	✗
PI of PPL; p17040-3	✓	✗	✗	✗	✗	✗	✗	✗

PI of PPL; styl1_human	✓	✗	✗	✗	✗	✗	✗	✗
PI of PPL; PRKD1	✓	✗	✗	✗	✗	✗	✗	✗
PI of CHOL; EVPL; Fatty Acid; IVL; Keratin tonofilament; Desmosome network	✗	✗	✓	✗	✗	✗	✗	✗
PI of PPL; UGT1A10	✓	✗	✗	✗	✗	✗	✗	✗
PI of PPL; PTK2B	✗	✗	✗	✗	✓	✗	✗	✗
PI of KIR3DS1; PPL	✓	✗	✗	✗	✗	✗	✗	✗
PI of PPL; susd3_human	✓	✗	✗	✗	✗	✗	✗	✗
PI of PPL; UBC (305-380)	✓	✗	✗	✗	✗	✗	✗	✗
PI of ABLIM1; AP2A1; BIRC6; CSNK2B; DLG1	✗	✓	✗	✗	✗	✗	✗	✗
PI of CDSN; CHOL; EVPL; FLG-Keratin filament network; Fatty Acid	✗	✗	✓	✗	✗	✗	✗	✗
PI of EVPL; FLG-Keratin filament network; IVL; LOR; Minor CE proteins	✗	✗	✓	✗	✗	✗	✗	✗
PI of PPL; PSMB4	✓	✗	✗	✗	✗	✗	✗	✗
PI of PFTAIKE2; PPL	✓	✗	✗	✗	✗	✗	✗	✗
PI of EVPL; IVL; PPL; TGM1	✗	✗	✓	✗	✗	✗	✗	✗
PI of 3.6.1.-; 4E-T; AAK1; AASDHPP; ABLIM1.	✗	✓	✗	✗	✗	✗	✗	✗
PI of ACTN1; ADSL; AFG3L2; AHCYL1; AIF	✗	✓	✗	✗	✗	✗	✗	✗
PI of FANCD2 Gene; PPL	✓	✗	✗	✗	✗	✗	✗	✗
PI of CASP6 Gene; PPL	✗	✗	✗	✓	✗	✗	✗	✗
PI of PPL; PSMA1	✓	✗	✗	✗	✗	✗	✗	✗
PI of PPL; q8n7r7-3	✓	✗	✗	✗	✗	✗	✗	✗
PI of ALOX12B; CALML5; CTS2L; Calmodulin like 3; FLG (1-4061)	✗	✓	✗	✗	✗	✗	✗	✗
PI of 3.4.21.-; 3.6.1.-; ACOXL; ACTA2; ACTB (1-375)	✗	✓	✗	✗	✗	✗	✗	✗
PI of CDSN; CHOL; EVPL; Fatty Acid; IVL	✗	✗	✓	✗	✗	✗	✗	✗
PI of PPL; frmd1_human	✓	✗	✗	✗	✗	✗	✗	✗
PI of PPL; q9bx46-2	✓	✗	✗	✗	✗	✗	✗	✗
PI of CUL1; PPL	✓	✗	✗	✗	✗	✗	✗	✗
PI of AMY1C; C19orf6; CALML5; Calmodulin like 3; FLG (1-4061)	✗	✓	✗	✗	✗	✗	✗	✗
PI of DYRK1A; PPL	✓	✗	✗	✗	✗	✗	✗	✗

PI of EVPL; IVL; PPL; TGM1; reduced acceptor	✗	✗	✓	✗	✗	✗	✗	✗	✗
PI of 2xHC-SQRDL (1-450); ACPP; AKR1B10; ALDH1A3; APOBEC3A.	✗	✓	✗	✗	✗	✗	✗	✗	✗
PI of CHOL; EVPL; FLG-Keratin filament network; Fatty Acid; IVL.	✗	✗	✓	✗	✗	✗	✗	✗	✗
PI of CD207; Calmodulin like 3; EVPL; IGHG1; IGHG2.	✗	✓	✗	✗	✗	✗	✗	✗	✗
PI of CDH1(155-882); PPL	✓	✗	✗	✗	✗	✗	✗	✗	✗
PI of CDSN; CHOL; EVPL; Fatty Acid; IVL	✗	✗	✓	✗	✗	✗	✗	✗	✗
PI of CALML5; CBCP1; EC 3.1.11.2; EVPL; FGB (31-44)	✗	✓	✗	✗	✗	✗	✗	✗	✗
PI of PLEKHA4; PPL	✓	✗	✗	✗	✗	✗	✗	✗	✗
PI of ACAD9; PPL	✓	✗	✗	✗	✗	✗	✗	✗	✗
PI of 3.6.1; 7xHC-HP (19-160); AKR1B10; ALOX15; ANXA1.	✗	✓	✗	✗	✗	✗	✗	✗	✗
PI of CDSN; CHOL; EVPL; FLG- Keratin filament network; Fatty Acid	✗	✗	✓	✗	✗	✗	✗	✗	✗
PI of BTN3A1; PPL	✗	✓	✗	✗	✗	✗	✗	✗	✗
PI of AcK-HIST3H2A; BANF1; BIRC6; CLTC; DLG1.	✗	✓	✗	✗	✗	✗	✗	✗	✗
PI of BDKRB2; PPL	✗	✓	✗	✗	✗	✗	✗	✗	✗
PI of ACPP; ALOX12B; ARA70; ASAHI(22-142); CALML5.	✗	✓	✗	✗	✗	✗	✗	✗	✗
PI of CASQ2 polymer; EVPL; IVL; LOR; Minor CE proteins.	✗	✗	✓	✗	✗	✗	✗	✗	✗
PI of 3.6.1; ABCD3; ALDH1A3; ATP6V0A1; ATP6V1A.	✗	✓	✗	✗	✗	✗	✗	✗	✗
PI of CASQ2 polymer; CHOL; EVPL; Fatty Acid; IVL.	✗	✗	✓	✗	✗	✗	✗	✗	✗
[1] KAZN + [1] PPL -> [1] KAZN: PPL	✗	✗	✓	✗	✗	✗	✗	✗	✗
PI of ACAD9; BPIFA2; COA1; COXPD13; DBT	✗	✓	✗	✗	✗	✗	✗	✗	✗
PI of P4HA2; PPL	✓	✗	✗	✗	✗	✗	✗	✗	✗
PI of ACADVL; AKAP9; AKR1B10; ALDH1A3; ARF6	✗	✓	✗	✗	✗	✗	✗	✗	✗
PI of DROSHA; PPL	✓	✗	✗	✗	✗	✗	✗	✗	✗
PI of EVPL; PPL; reduced acceptor	✗	✗	✓	✗	✗	✗	✗	✗	✗
PI of ACPP; ARG1; CALML5; CASP14(6-146); CRYAB	✗	✓	✗	✗	✗	✗	✗	✗	✗
PI of OPRM1 gene; PPL	✗	✗	✗	✓	✗	✗	✗	✗	✗

PI of CASQ2 polymer; CDSN; CHOL; EVPL; Fatty Acid.	✗	✗	✓	✗	✗	✗	✗	✗	✗
[1] BTN3A1, BTN1A1 + [1] PPL -> [1] BTN3A1,BTN1A1:PPL	✗	✗	✓	✗	✗	✗	✗	✗	✗
PI of FYCO1; PPL	✓	✗	✗	✗	✗	✗	✗	✗	✗
[1] EVPL + [1] PPL 1] EVPL: PPL	✗	✗	✓	✗	✗	✗	✗	✗	✗
PI of BIN1; PPL	✗	✓	✗	✗	✗	✗	✗	✗	✗
PI of ALDH3A1; AMER1; AMY1C; ANXA1; BPIFA2	✗	✓	✗	✗	✗	✗	✗	✗	✗
PI of PPL; RBM4	✓	✗	✗	✗	✗	✗	✗	✗	✗
PI of HTT; PPL	✗	✓	✗	✗	✗	✗	✗	✗	✗
PI of EZR; PPL	✓	✗	✗	✗	✗	✗	✗	✗	✗
PI of HNRNPA1; PPL	✓	✗	✗	✗	✗	✗	✗	✗	✗
PI of EVPL; IVL; Keratin tonofilament: Desmosome network; LOR; Minor CE proteins.	✗	✗	✓	✗	✗	✗	✗	✗	✗
PI of ACBD3; ACPP; AKR1B10; ALOX12B; ARF6.	✗	✓	✗	✗	✗	✗	✗	✗	✗
PI of BTN1A1; PPL	✗	✓	✗	✗	✗	✗	✗	✗	✗
PI of ESR2; PPL	✓	✗	✗	✗	✗	✗	✗	✗	✗
PI of FCF1; PPL	✓	✗	✗	✗	✗	✗	✗	✗	✗
PI of PPL; PSMA5	✓	✗	✗	✗	✗	✗	✗	✗	✗
PI of PPL; synpo_human	✓	✗	✗	✗	✗	✗	✗	✗	✗
PI of PPL; PSMB6	✓	✗	✗	✗	✗	✗	✗	✗	✗
PI of PDE4DIP; PPL	✓	✗	✗	✗	✗	✗	✗	✗	✗
PI of ANKRD40; CALML5; CRYAB; Calmodulin like 3; EPPK1.	✗	✓	✗	✗	✗	✗	✗	✗	✗
PI of CASQ2 polymer; CDSN; CHOL; EVPL; Fatty Acid.	✗	✗	✓	✗	✗	✗	✗	✗	✗
PI of PPL; q9ns68-2	✓	✗	✗	✗	✗	✗	✗	✗	✗
PI of NHLRC2; PPL	✓	✗	✗	✗	✗	✗	✗	✗	✗
PI of BTN3A1, BTN1A1; PPL	✗	✗	✓	✗	✗	✗	✗	✗	✗
PI of PPL; TBC1D22B	✓	✗	✗	✗	✗	✗	✗	✗	✗
PI of PPL; VWA9	✓	✗	✗	✗	✗	✗	✗	✗	✗